

А. Н. МУМОРЦЕВ

О ВЫЧИСЛЕНИИ ПЕРЕМЕЩЕНИЙ И НАПРЯЖЕНИЙ ПРИ ПОПЕРЕЧНОМ УДАРЕ ПО СТЕРЖНЮ

В задаче рассматриваются поперечные колебания призматического стержня с учетом деформаций сдвига, вызываемые неупругим ударом массивного тела.

Решение строится методом, предложенным в [1], и развивая результаты этой статьи, позволяет определить динамические прогибы по длине стержня, а также находить нормальные напряжения в его поперечных сечениях.

1. Применив к дифференциальному уравнению свободных поперечных колебаний призматического стержня с учетом деформаций сдвига [2] интегральное преобразование по переменной t основанное на разложении, использованном в [1], получим:

$$\frac{d^4 Y(x, p)}{dx^4} - c^2 p^2 \frac{d^2 Y(x, p)}{dx^2} + a^2 p^2 Y(x, p) = 0 \quad (1.1)$$

здесь:

$$\alpha^2 = \frac{m}{EI}; \quad c^2 = \bar{\gamma} \cdot m \quad (1.2)$$

m — погонная масса стержня, $\bar{\gamma}$ — единичный угол сдвига, для стержней сплошного сечения равный $\bar{\gamma} = \mu/GF$; EI и GF — жесткости стержня при изгибе и сдвиге, $p = i\lambda/a$ — чисто мнимый параметр преобразования, где λ — действительное число.

Для свободно опертого стержня преобразованные граничные условия запишутся:

$$\begin{aligned} Y(0, p) = 0; \quad Y_x'(0, p) = 0 \quad \text{при } x = 0 \\ Y(l; p) = 0; \quad Y_x''(l, p) = 0 \quad \text{при } x = l \end{aligned} \quad (1.3)$$

Начальные условия:

$$y(x, 0) = 0; \quad \frac{\partial y(x, 0)}{\partial t} = 0 \quad \text{при } t = 0 \quad (1.4)$$

Для точки $x=x_1$, где происходит удар, второе условие будет

$$\left(\frac{\partial y(x, 0)}{\partial t}\right)_{\substack{(x=x_1) \\ (t=0)}} = V_0 \quad (1.5)$$

V_0 — начальная скорость колебаний балки.

Давление ударяющей массы на стержень при неупругом ударе для $t > 0$:

$$f(x_1, t) = P - \frac{P}{g} \left(\frac{\partial^2 y}{\partial t^2}\right)_{x=x_1}$$

после преобразования по переменной, выразится следующей функцией:

$$F(x_1; p) = P - \frac{P}{g} p^2 Y(x_1; p) + pZ, \quad (1.6)$$

где импульс, сообщаемый стержню в момент удара,

$$Z = \frac{P}{g} \cdot V_0.$$

По виду корней характеристического уравнения дифференциального уравнения (1.1)

$$\alpha_2 = \left| \sqrt{\sqrt{\frac{(k\lambda)^4}{4} + \lambda^2} + \frac{(k\lambda)^2}{2}} \right|; \quad \alpha_1 = \left| \sqrt{\sqrt{\frac{(k\lambda)^4}{4} + \lambda^2} - \frac{(k\lambda)^2}{2}} \right| \quad (1.7)$$

$$k^2 = \left(\frac{c}{a}\right)^2 = \bar{\gamma} \cdot EI$$

для двух участков стержня записывается функция Грина, которая должна удовлетворять уравнению (1.1), условиям (1.3) и быть непрерывной вместе с $Y'_x(x_1; x; p)$ и $Y''_x(x_1; x; p)$ в точке $x=x_1$. Третья же производная $Y'''_x(x_1; x; p)$ в этой точке испытывает скачок q . Удовлетворяя условия на границе левого и правого участков в точке $x=x_1$, а также граничные условия (1.3), находим восемь постоянных функций Грина и записываем ее в следующем виде [1]:

$$Y(x; x_1; p) = \begin{cases} \frac{(q - q_1 a_2^2) \operatorname{sh} \alpha_1 (x_1 - l)}{\alpha_1 (\alpha_1^2 + \alpha_2^2) \operatorname{sh} \alpha_1 l} \operatorname{sh} \alpha_1 x - \frac{(q + q_1 a_1^2) \sin \alpha_2 (x_1 - l)}{\alpha_2 (\alpha_1^2 + \alpha_2^2) \sin \alpha_2 l} \sin \alpha_2 x & 0 \leq x \leq x_1 \\ \frac{(q - q_1 a_2^2) \operatorname{sh} \alpha_1 x_1}{\alpha_1 (\alpha_1^2 + \alpha_2^2) \operatorname{sh} \alpha_1 l} \operatorname{sh} \alpha_1 (x - l) - \frac{(q + q_1 a_1^2) \sin \alpha_2 x_1}{\alpha_2 (\alpha_1^2 + \alpha_2^2) \sin \alpha_2 l} \sin \alpha_2 (x - l) & x_1 \leq x \leq l \end{cases} \quad (1.8)$$

2. Полагая, что удар происходит по середине стержня, то есть при $x_1 = l/2$, вычислим величину скачков функции Грина,

для этого обратимся к уравнению совместности деформаций при изгибе стержня с учетом деформаций сдвига:

$$\frac{dy}{dx} = \psi + \gamma \quad (2.1)$$

$\frac{dy}{dx}$ — угол наклона касательной к оси стержня, а ψ и γ — соответственно угол поворота и угол сдвига сечения.

Вследствие равенства углов поворота левого и правого сечений при $x_1 = l/2$ скачок q_1 , появляющийся в первой производной функции Грина благодаря учету касательных напряжений, будет:

$$q_1 = \frac{dY^\pi}{dx} - \frac{dY^{\pi p}}{dx} = \frac{k^2}{EI} (Q^\pi - Q^{\pi p}), \quad (2.2)$$

значение скачка q в $Y'_x(x; \frac{l}{2}; p)$ определяется как разность значений $\frac{d^3 Y}{dx^3}$ для левого и правого сечений в точке $x_1 = \frac{l}{2}$

$$q = \frac{1}{EI} (Q^\pi - Q^{\pi p}) + \frac{k^2}{EI} \left(\frac{d^2 Q^\pi}{dx^2} - \frac{d^2 Q^{\pi p}}{dx^2} \right) \quad (2.3)$$

Заменяя в (2.2) и (2.3) разность поперечных сил функцией давления (1.6) и подставляя полученные выражения в (1.8), представим функцию Грина в следующем виде (вследствие симметрии рассматривается только левый участок):

$$Y(x; \frac{l}{2}; p) = \frac{P + pZ}{2EI(\alpha_1^2 + \alpha_2^2)\alpha_1\alpha_2 D} \cdot \left[\alpha_1 \frac{\sin \alpha_2 x}{\cos \frac{\alpha_2 l}{2}} - \alpha_2 \frac{sh \alpha_1 x}{ch \frac{\alpha_1 l}{2}} + k^2 \left(\alpha_1^3 \frac{\sin \alpha_2 x}{\cos \frac{\alpha_2 l}{2}} + \alpha_2^3 \frac{sh \alpha_1 x}{ch \frac{\alpha_1 l}{2}} \right) - \frac{k^4}{EI} \cdot \frac{P}{2g} \left(\alpha_1^2 th \frac{\alpha_1 l}{2} \cdot \frac{\sin \alpha_2 x}{\cos \frac{\alpha_2 l}{2}} + \alpha_2^2 tg \frac{\alpha_2 l}{2} \cdot \frac{sh \alpha_1 x}{ch \frac{\alpha_1 l}{2}} \right) \right] \quad (2.4)$$

где

$$D = 1 + \frac{P}{EIg} p^2 \frac{1 + k^2(\alpha_1^2 - \alpha_2^2)}{2(\alpha_1^2 + \alpha_2^2)} \left(tg \frac{\alpha_2 l}{2} - th \frac{\alpha_1 l}{2} \right) - \frac{k^4 P^2 p^4}{4(EIg)^2 \alpha_1 \alpha_2} tg \frac{\alpha_2 l}{2} th \frac{\alpha_1 l}{2}$$

Располагая преобразованной функцией прогибов, находим преобразованную функцию кривизны стержня. $Y''_x(x; l/2; p)$, связанную с нормальными напряжениями в поперечном сечении известной формулой:

$$\sigma_h = -E \cdot \frac{d^2 y}{dx^2} \cdot \frac{h_y}{2}.$$

Значения трансформированной функции прогибов и ее второй производной записываются в виде отношений двух функций:

$$Y\left(x; \frac{l}{2}; p\right) = \frac{\varphi(p)}{\alpha_1 \alpha_2 \psi(p)} \quad \text{и} \quad (2.5)$$

$$Y_x''\left(x; \frac{l}{2}; p\right) = \frac{\chi(p)}{\psi(p)}$$

здесь:

$$\begin{aligned} \psi(p) = & 2(\alpha_1^2 + \alpha_2^2) + \frac{Pp^2 [1 + k^2(\alpha_1^2 - \alpha_2^2)]}{EIg} \left(\frac{1}{\alpha_1} \operatorname{tg} \frac{\alpha_2 l}{2} - \frac{1}{\alpha_2} \operatorname{th} \frac{\alpha_1 l}{2} \right) - \\ & - \frac{k^4 P^2 p^4 (\alpha_1^2 + \alpha_2^2)}{2\alpha_1 \alpha_2 (EIg)^2} \operatorname{tg} \frac{\alpha_2 l}{2} \operatorname{th} \frac{\alpha_1 l}{2}; \end{aligned} \quad (2.6)$$

$$\begin{aligned} \varphi(p) = & \frac{P + pZ}{EI} \left[\alpha_1 (1 + k^2 \alpha_1^2) \frac{\sin \alpha_2 x}{\cos \frac{\alpha_2 l}{2}} - \alpha_2 (1 - k^2 \alpha_2^2) \frac{\operatorname{sh} \alpha_1 x}{\operatorname{ch} \frac{\alpha_1 l}{2}} - \right. \\ & \left. - \frac{k^4 P p^2}{2EIg} \left(\alpha_1^2 \operatorname{th} \frac{\alpha_1 l}{2} \cdot \frac{\sin \alpha_2 x}{\cos \frac{\alpha_2 l}{2}} + \alpha_2^2 \operatorname{tg} \frac{\alpha_2 l}{2} \cdot \frac{\operatorname{sh} \alpha_1 x}{\operatorname{ch} \frac{\alpha_1 l}{2}} \right) \right] \end{aligned} \quad (2.7)$$

$$\begin{aligned} \chi(p) = & - \frac{P + pZ}{EI} \left[\alpha_2 (1 + k^2 \alpha_2^2) \frac{\sin \alpha_2 x}{\cos \frac{\alpha_2 l}{2}} + \alpha_1 (1 - k^2 \alpha_1^2) \cdot \frac{\operatorname{sh} \alpha_1 x}{\operatorname{ch} \frac{\alpha_1 l}{2}} + \right. \\ & \left. + \frac{k^4 P p^2 \alpha_1 \alpha_2}{2EIg} \left(\operatorname{tg} \frac{\alpha_2 l}{2} \cdot \frac{\operatorname{sh} \alpha_1 x}{\operatorname{ch} \frac{\alpha_1 l}{2}} - \operatorname{th} \frac{\alpha_1 l}{2} \cdot \frac{\sin \alpha_2 x}{\cos \frac{\alpha_2 l}{2}} \right) \right] \end{aligned} \quad (2.8)$$

Вследствие равенств

$$\alpha_1 = \sqrt{\frac{\alpha_2^2}{1 + k^2 \alpha_2^2}} \quad (2.9)$$

$$\text{и } p^2 = -\frac{1}{a^2} \cdot \frac{\alpha_2^4}{1 + k^2 \alpha_2^2} \quad \text{и} \quad p = \pm i \frac{\alpha_1 \alpha_2}{a}$$

вытекающих из (1.7), функции (2.5) ввиду того, что их особенность в точке p , соответствующей $\alpha_2 = \pm i/k$, не принадлежит физической области задачи (α_2 — по условию задачи — действительные числа), можно считать голоморфными функциями. Благодаря этому в качестве теоремы обращения может быть применена вторая теорема разложения Хэвисайда:

$$Y\left(x; \frac{l}{2}; t\right) = y\left(x; \frac{l}{2}; 0\right) + \sum_{n=1}^{\infty} \frac{\varphi(p_n)}{p_n [\alpha_1 \alpha_2 \psi'(p_n)]} \exp(p_n t) \quad (2.10)$$

и

$$y_x''\left(x; \frac{l}{2}; t\right) = Y_x''\left(x; \frac{l}{2}; 0\right) + \sum_{n=1}^{\infty} \frac{\chi(p_n)}{p_n \psi'(p_n)} \exp(p_n t) \quad (2.11)$$

В этих выражениях p_n — корни уравнения:

$$\psi(p_n) = 0. \quad (2.12)$$

Для определения первых членов в (2.10) и (2.11) положим $p=0$ в отношениях (2.5). Раскрывая по правилу Лопиталья полученные неопределенности, находим кривую прогибов и функцию кривизны оси стержня по длине при бесконечно медленном (статическом) нагружении стержня по середине пролета силой P .

$$Y(x; \frac{l}{2}; 0) = \lim_{\alpha_{10}, \alpha_{20} \rightarrow 0} \frac{P \left[\frac{1}{\alpha_{20}} \cdot \frac{\sin \alpha_{20} x}{\cos \alpha_{20} \frac{l}{2}} - \frac{1}{\alpha_{10}} \cdot \frac{\operatorname{sh} \alpha_{10} x}{\operatorname{ch} \alpha_{10} \frac{l}{2}} \right]}{2EI(\alpha_{10}^2 + \alpha_{20}^2)} + \quad (2.13)$$

$$+ \frac{k^2 \left(\frac{\alpha_{10}^2}{\alpha_{20}} \cdot \frac{\sin \alpha_{20} x}{\cos \alpha_{10} \frac{l}{2}} + \frac{\alpha_{20}^2}{\alpha_{10}} \cdot \frac{\operatorname{sh} \alpha_{10} x}{\operatorname{ch} \alpha_{10} \frac{l}{2}} \right)}{2EI(\alpha_{10}^2 + \alpha_{20}^2)} = \frac{P}{24EI} \left[\left(\frac{3xl^2}{2} - 2x^3 \right) + 12k^2x \right]$$

$$Y'_x(x; \frac{l}{2}; 0) = \lim_{\alpha_{10}, \alpha_{20} \rightarrow 0} \frac{-P \left[\alpha_{20} \frac{\sin \alpha_{20} x}{\cos \alpha_{20} \frac{l}{2}} + \alpha_{10} \frac{\operatorname{sh} \alpha_{10} x}{\operatorname{ch} \alpha_{10} \frac{l}{2}} \right]}{2EI(\alpha_{10}^2 + \alpha_{20}^2)} +$$

$$+ \frac{k^2 \alpha_{10} \alpha_{20} \left(\alpha_{10} \cdot \frac{\sin \alpha_{20} x}{\cos \alpha_{20} \frac{l}{2}} - \alpha_{20} \frac{\operatorname{sh} \alpha_{10} x}{\operatorname{ch} \alpha_{10} \frac{l}{2}} \right)}{2EI(\alpha_{10}^2 + \alpha_{20}^2)} = - \frac{Px}{2EI} \quad (2.14)$$

Разлагая (2.9) в степенной ряд и удерживая только два первых члена ($k^2 \alpha_2^2 < 1$), подставляем, преобразованные с учетом этого разложения, выражения (2.6), (2.7) и (2.8) в (2.10) и (2.11), которые после замены экспоненциальных множителей по формуле Эйлера и объединения сумм с последующей подстановкой (2.13) и (2.14) соответственно дадут следующие выражения для динамического прогиба и нормальных напряжений, имеющих место на левом участке стержня при ударе по середине пролета:

$$y(x, \frac{l}{2}, t) = \frac{P}{24EI} \left[\frac{3xl^2}{2} - 2x^3 \right] +$$

$$+ \frac{4}{EI} \sum_{n=1}^{\infty} \frac{\left[P \cos \frac{\alpha_{1n} \alpha_{2n}}{a} t - Z_{2n}^2 (1 - 0,5k^2 \alpha_{2n}^2) \sin \frac{\alpha_{1n} \alpha_{2n}}{a} t \right] \omega(\alpha_n)}{\Omega(\alpha_n)}$$

$$0 \leq x \leq \frac{l}{2} \quad (2.15)$$

$$\sigma^{\max} \left(x, \frac{l}{2}, t \right) = \frac{Px}{2W} +$$

$$+ \frac{4}{W} \sum_{n=1}^{\infty} \frac{\left[P \cos \frac{\alpha_{1n} \alpha_{2n}}{a} t - Z \alpha_{2n}^2 (1 - 0,5k^2 \alpha_{2n}^2) \sin \frac{\alpha_{1n} \alpha_{2n}}{a} t \right] \vartheta(\alpha_n)}{\Upsilon(\alpha_n)}$$

$$0 \leq x \leq \frac{l}{2} \quad (2.16)$$

Ниже приводятся значения $\omega(\alpha_n)$, $\Omega(\alpha_n)$ и $\vartheta(\alpha_n)$, $\Upsilon(\alpha_n)$:

$$\omega(\alpha_{1n}, \alpha_{2n}) = \left\{ \alpha_{2n} (1 + 0,5k^2 \alpha_{2n}^2) \frac{\sin \alpha_{2n} x}{\cos \frac{\alpha_{2n} l}{2}} - \alpha_{2n} (1 - k^2 \alpha_{2n}^2) \frac{sh \alpha_{1n} x}{ch \frac{\alpha_{1n} l}{2}} + \right.$$

$$+ \frac{\beta l k^4 \alpha_{2n}^6}{2} (1 - k^2 \alpha_{2n}^2) \left[th \frac{\alpha_{1n} l}{2} (1 - k^2 \alpha_{2n}^2) \frac{\sin \alpha_{2n} x}{2} + \right.$$

$$\left. \left. + tg \frac{\alpha_{2n} l}{2} \cdot \frac{sh \alpha_{1n} x}{ch \frac{\alpha_{1n} l}{2}} \right] \right\} \quad (2.17)$$

$$\Omega(\alpha_{1n}, \alpha_{2n}) = \alpha_{2n} \frac{1 - 0,5k^2 \alpha_{2n}^2}{1 - k^2 \alpha_{2n}^2} \left\{ 8\alpha_{2n}^3 (2 - 3k^2 \alpha_{2n}^2) + 2\alpha_{2n}^4 l (1 - k^2 \alpha_{2n}^2) \times \right.$$

$$\times \left[(1 - 1,5k^2 \alpha_{2n}^2) th \frac{\alpha_{2n} l}{2} - tg \frac{\alpha_{2n} l}{2} \right] + 5\beta l \alpha_{2n}^4 \left[(1 - 1,4k^2 \alpha_{2n}^2) th \frac{\alpha_{1n} l}{2} - \right.$$

$$\left. - (1 - 2,1k^2 \alpha_{2n}^2) tg \frac{\alpha_{2n} l}{2} \right] - k^2 \alpha_{2n}^7 \beta l^2 - \alpha_{2n}^5 \beta l^2 (1 - 2k^2 \alpha_{2n}^2) tg \frac{\alpha_{2n} l}{2} \times$$

$$\times th \frac{\alpha_{1n} l}{2} - 10k^4 \beta l^2 \alpha_{2n}^9 (1 - 3k^2 \alpha_{2n}^2) th \frac{\alpha_{1n} l}{2} \times$$

$$\times \cos \frac{\alpha_{2n} l}{2} tg \frac{\alpha_{2n} l}{2} - k^4 \beta^2 l^3 \alpha_{2n}^{10} (1 - 2k^2 \alpha_{2n}^2) \left[tg \frac{\alpha_{2n} l}{2} + \right.$$

$$\left. + (1 - 0,5k^2 \alpha_{2n}^2) th \frac{\alpha_{1n} l}{2} \right] \left. \right\} \quad (2.18)$$

$$\vartheta(\alpha_{1n}, \alpha_{2n}) = \left[\alpha_{2n} (1 + k^2 \alpha_{2n}^2) \frac{\sin \alpha_{2n} x}{\cos \frac{\alpha_{2n} l}{2}} - \alpha_{2n} (1 - 1,5k^2 \alpha_{2n}^2) \frac{sh \alpha_{1n} x}{ch \frac{\alpha_{1n} l}{2}} - \right.$$

$$\left. - \beta l \frac{k^4}{2} \alpha_{2n}^6 (1 - 1,5k^2 \alpha_{2n}^2) \left(tg \frac{\alpha_{2n} l}{2} \cdot \frac{sh \alpha_{1n} x}{ch \frac{\alpha_{1n} l}{2}} - th \frac{\alpha_{1n} l}{2} \cdot \frac{\sin \alpha_{2n} x}{\cos \frac{\alpha_{2n} l}{2}} \right) \right] \quad (2.19)$$

$$\Upsilon(\alpha_{1n}, \alpha_{2n}) = \alpha_{2n}^2 \frac{1 - 0,5k^2 \alpha_{2n}^2}{1 - k^2 \alpha_{2n}^2} \left(8(1 - k^2 \alpha_{2n}^2) + 2\alpha_{2n} l (1 - 0,5k^2 \alpha_{2n}^2) \times \right.$$

$$\begin{aligned} & \times \left[(1 - 1,5k^2 \alpha_{2n}^2) th \frac{\alpha_{2n} l}{2} - tg \frac{\alpha_{2n} l}{2} \right] + 3\alpha_{2n} \beta l \left[(1 - 2,5k^2 \alpha_{2n}^2) th \frac{\alpha_{2n} l}{2} - \right. \\ & \left. - (1 - 1,66k^2 \alpha_{2n}^2) tg \frac{\alpha_{2n} l}{2} \right] - \alpha_{2n}^2 \beta l^2 (1 - 2k^2 \alpha_{2n}^2) tg \frac{\alpha_{2n} l}{2} th \frac{\alpha_{2n} l}{2} - \\ & \quad - k^2 \alpha_{2n}^4 \beta l^2 - 8k^4 \alpha_{2n}^6 \beta^2 l^2 (1 - 2,5k^2 \alpha_{2n}^2) th \frac{\alpha_{2n} l}{2} tg \frac{\alpha_{2n} l}{2} - \\ & \quad - k^4 \alpha_{2n}^7 \beta^2 \frac{l^3}{2} (1 - 2k^2 \alpha_{2n}^2) \left[(1 - 1,5k^2 \alpha_{2n}^2) tg \frac{\alpha_{2n} l}{2} + th \frac{\alpha_{2n} l}{2} \right] \} \quad (2.20) \end{aligned}$$

здесь $\beta = \frac{P}{P_1}$.

Корни α_{2n} определяются из трансцендентного уравнения (2.12), которое после преобразований приводится к виду:

$$tg \frac{\alpha_{2n} l}{2} = \frac{4(1 - k^2 \alpha_{2n}^2) + \alpha_{2n} \beta l (1 - k^2 \alpha_{2n}^2) th \frac{l}{2} \sqrt{\frac{\alpha_{2n}^2}{1 + k^2 \alpha_{2n}^2}}}{\alpha_{2n} \beta l [1 - 1,5k^2 \alpha_{2n}^2 + k^4 \alpha_{2n}^5 \beta l (1 - 2,5k^2 \alpha_{2n}^2) th \frac{l}{2} \sqrt{\frac{\alpha_{2n}^2}{1 + k^2 \alpha_{2n}^2}}]} \quad (2.21)$$

Время t_1 , соответствующее наибольшему значению динамического прогиба или напряжения, определяется по максимуму первого члена разложения:

$$t_1 = \frac{\pi a}{\alpha_{21}^2 (1 - 0,5k^2 \alpha_{21}^2)} + \frac{a^2 g}{V_0 \alpha_{21}^4 (1 - k^2 \alpha_{21}^2)}$$

Полагая в (2.15), (2.17) и (2.18) $x = l/2$, получим результаты, совпадающие с опубликованным ранее решением для определения динамического прогиба под силой P , приложенной в середине пролета стержня [1], если же в этих выражениях считать $k=0$, то есть пренебречь деформациями сдвига, то результаты оказываются тождественны выражениям, приводимым в [3, 4].

3. В качестве примера рассматривается удар по стальному стержню I № 12, начальная скорость принимается равной $v_0 = 100$ см/сек. Соотношение масс ударяющего груза и стержня берется в пределах от 1 до 10, отношение высоты стержня к его длине: $1/10 \div 1/4$.

По прогибам и напряжениям в поперечных сечениях стержня определялись динамические коэффициенты:

$$k_{(x)}^y = \frac{y(x, \frac{l}{2}, t_1)}{y_{ст}(x, \frac{l}{2})} \quad \text{и} \quad k_{(x)}^\sigma = \frac{\sigma(x, \frac{l}{2}, t_1)}{\sigma_{ст}(x, \frac{l}{2})}$$

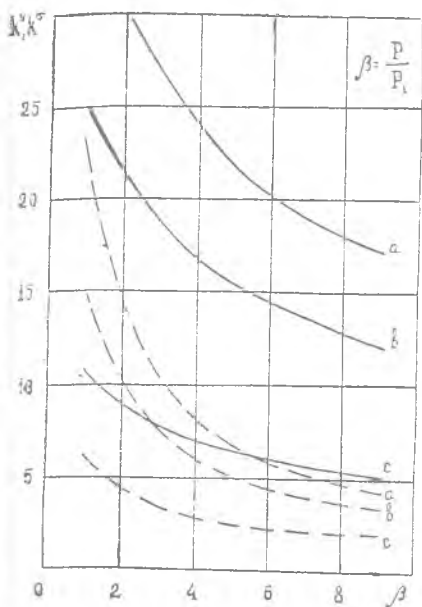


Рис. 1.

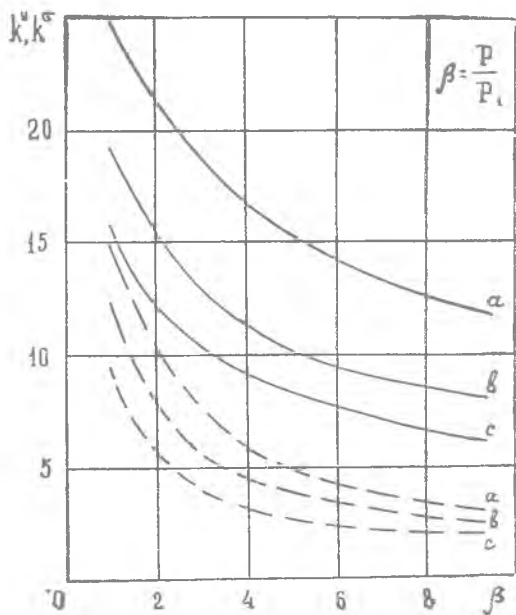


Рис. 2.

На рис. 1 показана зависимость коэффициентов по перемещениям (сплошные линии) и по напряжениям (пунктир) от величины β при различных значениях h/l , соответственно $a - 1/3$; $b - 1/6$; $c - 1/10$.

Кривыми на рис. 2 изображаются динамические коэффициенты по прогибам и напряжениям для стержней с одинаковым отношением $h/l = 1/6$, но различными гибкостями λ : $a - 14,5$; $b - 15$; $c - 16$.

Соответствующие статическому нагружению и первым двум корням трансцендентного уравнения формы оси балки приведены на рис. 3.

Кривые построены в различных масштабах, абсолютные значения ординат даны в мм.

На основании анализа численного счета, выполненного на ЭЦВМ «Урал-2», можно сформулировать следующие выводы:

- величина динамического коэффициента не меняется по длине стержня;

- учет деформаций сдвига не оказывает существенного влияния на величину динамических нормальных напряжений;

- расхождение значений динамических коэффициентов, определяемых по прогибам и напряжениям, показывает, что

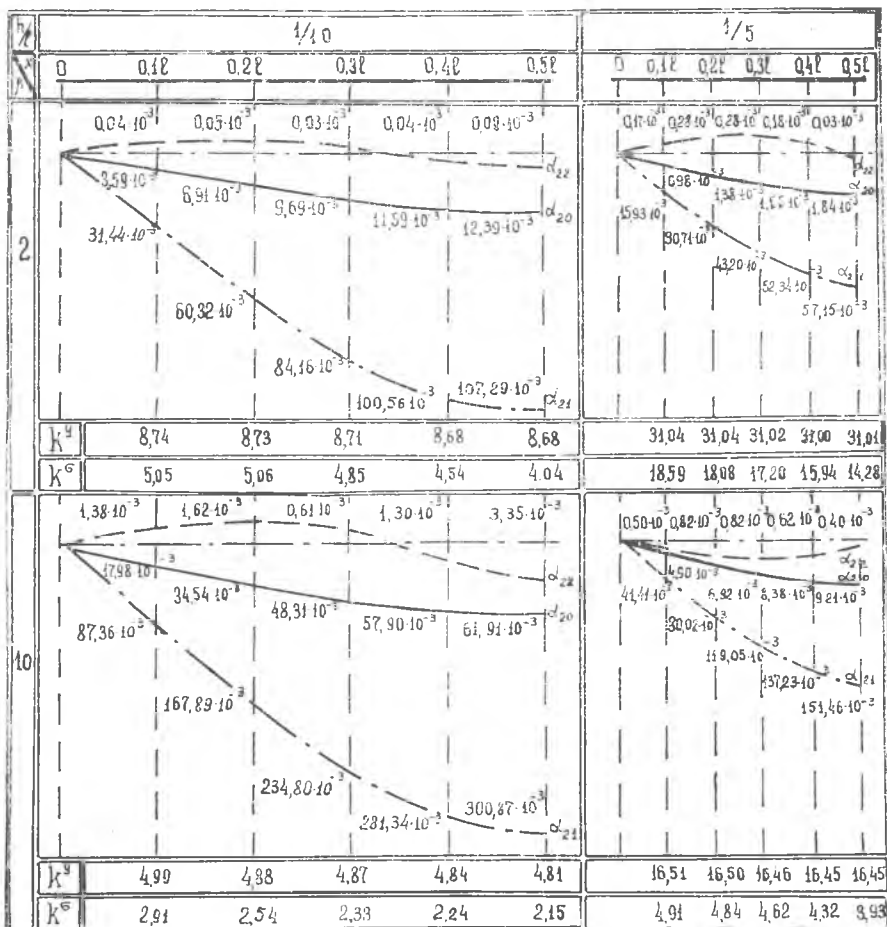


Рис. 3.

учет деформаций сдвига необходим при определении перемещений при ударных воздействиях.

ЛИТЕРАТУРА

1. Сеницкий Ю. Э. Поперечный удар по стержню сплошного или составного сечения, «Инженерный журнал», т. 5, вып. 4, АН СССР, 1965.
2. Тимошенко С. П. Колебания в инженерном деле. Физматгиз, 1959.
3. Солодовников Р. В., Смелянская Л. Н. Поперечный удар по балке, нагруженной продольными силами. «Известия вузов» МВНССО СССР, раздел «Строительство и архитектура», 1962, № 2.
4. Муромцев А. Н., Сафонов С. Ф. Удар по стержню с упруго поворачивающейся опорой. «Известия вузов» МВНССО СССР, раздел «Строительство и архитектура» 1969, № 10.